

II-49 サージ・フロントに伴う流木の衝撃力

秋田大学 学生員○酒井裕二 正員 松富英夫

1. まえがき

サージ・フロントに伴う流木を対象に、構造物の開度 λ による見かけの質量係数 C_{Ma} 、流木移動速度 u_w 、衝撃力継続時間 Δt の変化特性等について実験的検討を行い、流木の最大衝撃力を評価式を誘導する。合わせて、碎波段波の場合との比較・検討も行う。

2. 実験

実験に使用した水路は、水平に置かれた鋼製矩形のもので、サージ・フロントはゲート急閉により発生させた。実験装置の概略を図-1に示す。対象波力の測定には、受圧壁の取り替えが可能で、全力Fのみ測定可能な自作の波力計を用いた¹⁾。実験でのサージ・フロントの発生条件を表-1に示す。 h_1 と h_0 は各々初期ゲート上・下流側の水深である。各実験において、流木は1本とし、初期、その中心軸を流れ方向に向け（縦置きと呼び、この状態での衝突を縦衝突と呼ぶ）、流木中心に関してゲートからの距離 $x=2.55m$ の所に静置した。縦置き、縦衝突とした理由は、既報²⁾の流木の挙動分類結果に基づき、単位幅当たりで最も大きな衝撃力が働くという判断による。使用流木の諸元をまとめて、表-2に示す。Dは流木径、Lは流木長、L/Dは細長比、Wは湿潤状態での流木の重量である。測定項目は全力Fの他に、サージ・フロント衝突前後の壁近傍で

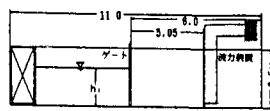


表-1 サージ・フロント発生条件

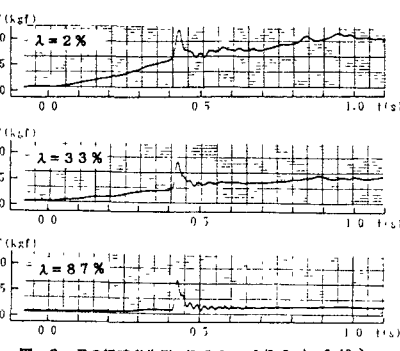
$h_1(m)$	$h_0(m)$
0.40	0



表-2 流木諸元

D(cm)	L(cm)	L/D	W(g)
5.8~12	48.4~180	8, 12, 16	565~8525

単位(cm)

図-2 Fの経時変化例 ($D=5.8cm$, $L/D=8$, $h_1=0.40m$)

のサージ・フロントと流木の挙動、壁設置位置直前の流木の移動速度である。

3. 実験結果とその考察

3-1. 流木の衝撃力

図-2に開度 λ によるFの経時変化例を示す。サージ・フロント衝突時を $t=0$ と同期している。 λ 以外の諸元は同じである。 λ が大きくなるにつれて流木衝撃力 F_s が大きくなり、サージ・フロントそのものによる力に比べて無視できないことが判る。

3-2. 見かけの質量係数

開度 λ による C_{Ma} の変化例を図-3に示す。図中実験値は10回の平均である（以下も同じ）。 C_{Ma} は次式で評価されている。

$$\int F_s dt = C_{Ma} M u_w \quad \dots \dots \dots (1)$$

ここで、t:時間、M:流木湿润時の質量、 u_w :壁から約50cm上流での流木先端部の水平移動速度。 u_w として上記を選んだ理由は、壁の存在の影響を受けていない等である。本来なら、壁の存在の影響を受けた流況でのものを採用すべきであるが、現状ではその流況や流木衝突時刻等の推定が容易でない。実線はサージ・フロントの場合の回帰曲線で、

$$C_{Ma} = -7.75 \times 10^{-5} \lambda^2 + 0.0153 \lambda + 0.77 \quad \dots \dots \dots (2)$$

点線は碎波段波の場合の回帰曲線で¹⁾、

$$C_{Ma} = -8.4 \times 10^{-5} \lambda^2 + 0.0197 \lambda + 0.38 \quad \dots \dots \dots (3)$$

λ は%表示である。 C_{Ma} は λ に対してほぼ放物分布する。 C_{Ma} は L/D にあまり依存しないようである。 $\lambda = 100\%$ の時、 C_{Ma} は本来の質量係数 C_m と解釈される。サージ・フロント、碎波段波ともに約1.5となり、従来の報告値²⁾とほぼ同じである。しかし、 λ が小さくなると、サージ・フロントの方が碎波段波より C_{Ma} が大きくなる傾向にある。このことは、例えば流木の諸元と移動速度が同じ時、フロントでの水位変化率はサージの方があくまで上方に投げ出される流体の緩衝機能が小さくなることから、想像つくことである。

